

室内実験による粘性土地盤への静的貫入抵抗

愛媛大学 工学部 八木 則男
 愛媛大学 工学部 矢田部 龍一
 愛媛大学 大学院 ○武智 修
 村本建設(株) 佐々木 啓之

1. まえがき

粘性土地盤へのサウンディングは、動的貫入試験よりも静的貫入試験の方が適しているといわれている。最近では、先端抵抗と周面摩擦抵抗を分離して測定することももちろん、コーン周辺の発生間隙水圧を測定し、それらをもとにした地盤の力学的性質を推定する試みが多くなっている。しかし、両者の関係は応力履歴などの地盤条件によって影響される。原地盤では、このような地盤条件が明確でない場合が多いので、筆者らは、室内で作製した条件の明確な粘性土の模型地盤に、小規模の静的コーン貫入試験を行い、貫入試験結果より得られた諸測定値と粘性土地盤の力学的性質との関係に及ぼす地盤条件の影響を調べた。

2. 実験装置及び実験方法

図-1に実験装置の概要を示す。模型地盤は円筒形土槽に脱気処理を行な、トスラリー状の粘土を所定の正規圧力で予備圧密せることにより作製した。貫入試験時には、模型地盤を所定の高さに成形し、所定の上載圧をゴム膜を介して空圧で作用させた。間隙水圧は、コーン直下および土槽の中心より2.5cmの所に飽和エセラステンレスパイプを図のように配置した。また、コーン下部側面水圧は脱気飽和させたセラミックディスクを介して測定を行なった。図-2には貫入に用いたコーンの概略を示す。コーンは先端角60°、直径16cmで材質はアクリルがあり、先端抵抗と全抵抗とを分け測定できる重管構造だ、といえる。実験に用いた試料は、愛媛県八幡浜が採取した海成粘土である。その物性はL.L.=62.0% P.L.=28.2%, P.I.=33.8, Gs=2.692である。粒径加積曲線を図-3に示す。地盤条件は、正規地盤では、正規圧力を1.0, 2.0, 3.0kg/cm²で圧密し、過圧密地盤では先行正規圧力を3.0, 4.0kg/cm²で圧密し過圧密比(OCR)を2.5, 1.0の地盤条件を行なった。貫入速度は0.172cm/minで4cm貫入を行なった。

3. 実験結果及び考察

図-4に上載圧1.0, 2.0, 3.0kg/cm²で圧密を行なった正規地盤の貫入量 δ と全抵抗 P 、先端抵抗 P_e との関係を示す。図-5には先行正規圧力3.0kg/cm²につけたの関係を示す。これらを見ると正規地盤においては、正規圧力が大きくなるほど貫入抵抗は大きくなっている。過圧密地盤においては、先行正規圧力4.0kg/cm²のものを除いたが、先行正規圧力が大きく、過圧密比が小さくほど貫入抵抗は大きくなっている。図-6と図-7にコーン下部側面からの水圧特性を示す。正規地盤においては、初期から正圧が発生しているのに対し、過圧密地盤においては貫入初期に負圧の発生が見られる過圧密地

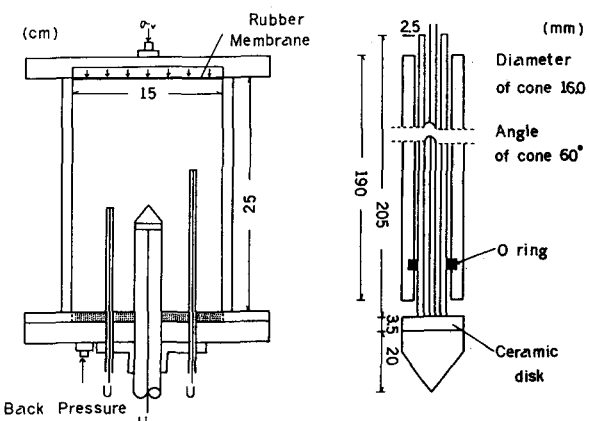


図-1 実験装置の概略図 図-2 コーンの概略図

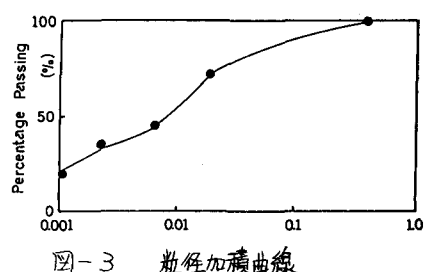


図-3 粒径加積曲線

が大きいほどその負圧が大きく出る傾向があるのは、過圧密比が大きいほどダイレクティンシーの影響が大きいためと思われる。また貫入ヒヒモに正圧になるのは、コーン先端が発生した大きな正水圧が伝播することと、貫入による平均垂直応力の増加のためと思われる。次に、貫入試験結果及び試験後の試料から得られた測定値を表-1に示す。

先端抵抗比は貫入時のセイク値があり、周面摩擦抵抗比もその時の値である。また、粘性土の非排水強度 C_u は貫入試験後の一軸圧縮試験より得た値であり、またその時の含水比も表-1にある。 δ_c は支持力公式を参考に次式のように表される。

$$\delta_c = \sigma'_v + C_u N_{cu} \quad (\sigma'_v: \text{有効上載圧}, N_{cu}: \text{支持力係数})$$

これより N_{cu} の値を求めてみると、正規地盤では正水圧には無関係にほぼ一定であるのにに対し、過圧密地盤では、過圧密比が大きくなるほど小さくなってしまう。これは、上載圧と側方圧の比となりゆえに δ_c が大きくなるのが正規地盤とは違った影響を貫入抵抗に与えるためと思われるが、今後研究が必要である。図-8に σ_u/δ_c と δ_c との関係を示す。 σ_u/δ_c は現在土性の推定を行なうのに用いられるべきパラメータであるが、この図からみても正規地盤と過圧密地盤とは顕著な違いがないように思われる。そこで、Balogh らにより過圧密比と σ_u/δ_c の値の間に相関があることが見だされ²⁾る。そこで $(\sigma_u/\delta_c)_{NC}/(\sigma_u/\delta_c)_{OC}$ と過圧密比(OCR)の関係を図-9に示す。 δ_c および σ_u/δ_c は30cm 贯入時の値を用いた。これより、過圧密比が大きくなるとともに、 $(\sigma_u/\delta_c)_{NC}/(\sigma_u/\delta_c)_{OC}$ は大きくなってしまっており、このパラメータは土性のより正確な推定を行なうことなどがわかると思われる。

4. あとがき

静的貫入試験における先端抵抗と周面摩擦抵抗の分離測定と間隙水压の測定を行なうことでより地盤の応力履歴等の状態を知ることができる。今後さらにこの方面的研究を進めより合理的な貫入試験の整理法を検討したい。

参考文献

- Balogh, B.B., Vivatrat, T. and Ladd, C.C.; Cone Penetration in Soil Profiling, Journal of the Geotechnical Engineering Division, GT4, 1980.

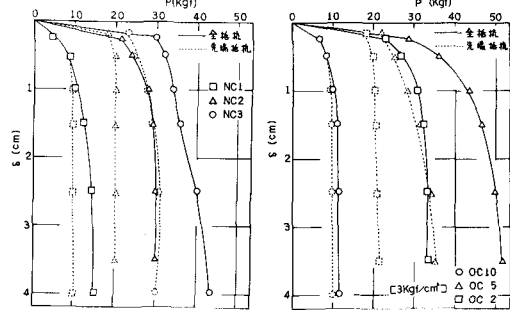
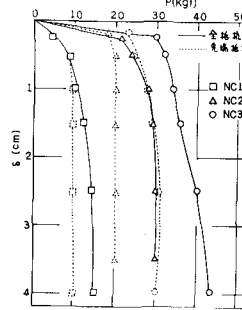


図-4 NC の P~δ の関係 図-5 OC の P~δ の関係

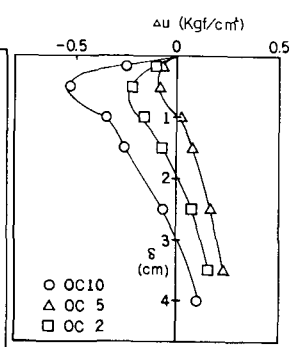
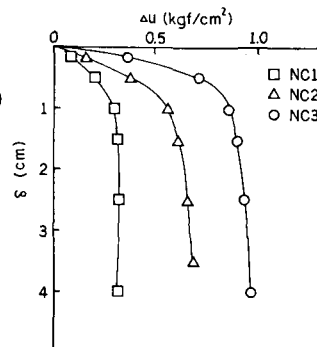


図-6 NC のコーン側面水圧特性 図-7 OC のコーン側面水圧特性

表-1 諸測定値

	C_u (kgf/cm²)	w (%)	q_c (kgf/cm²)	N_{cu}	f_s (kgf/cm²)	f_s/q_c (%)
NC 1	0.26	32.3	4.72	14.31	0.074	1.94
NC 2	0.51	30.6	9.94	15.57	0.131	1.32
NC 3	0.76	28.8	15.07	15.88	0.176	1.17
OC 2 ^(3kgf/cm²)	0.95	28.3	17.31	16.54	0.182	1.05
OC 5 ^(4kgf/cm²)	0.92	29.2	10.40	10.65	0.163	1.57
OC 10 ^(3kgf/cm²)	0.55	30.8	4.82	8.21	0.026	0.54
OC 2 ^(4kgf/cm²)	1.44	27.6	25.77	16.51	0.215	0.83
OC 5 ^(4kgf/cm²)	1.39	27.7	22.31	15.32	0.220	0.99
OC 10 ^(4kgf/cm²)	1.18	28.1	17.73	14.69	0.160	0.90

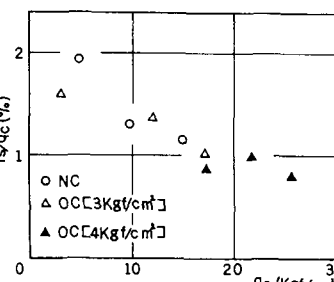


図-8 σ_u/δ_c ~ δ_c の関係

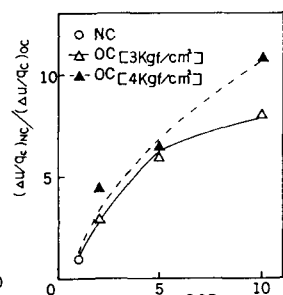


図-9 $(\Delta u/q_c)_{NC}/(\Delta u/q_c)_{OC}$ ~ OCR の関係